

M2 Géo-mécanique : Ouvrages, Eau, Réservoirs (GEO2)

CNL: hands on [Part 1]

Filippo Gatti, Ph.D.

filippo.gatti@centralesupelec.fr

Lab.MSSMat UMR CNRS 8579

CentraleSupélec

November 3, 2019



CentraleSupélec

- ① Élastoplasticité : concepts avancés
 - 1.1 Modèles élastoplastiques avancés
 - 1.2 Modèles EP pour les argiles

- ② Bibliography

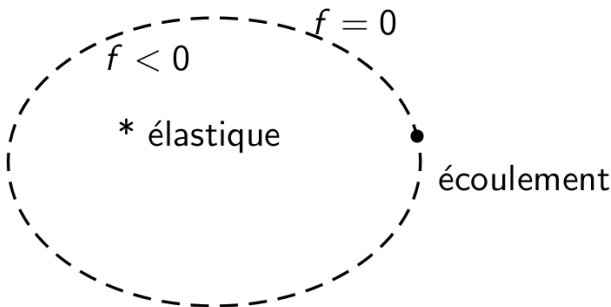
Modèles élastoplastiques avancés

- Ingrédients pour décrire l'évolution élastoplastique?
 - ① seuil de plasticité
 - ② fonction de charge (critère de rupture)
 - ③ écrouissage (évolution du seuil de plasticité)
 - ④ écoulement plastique
 - ⑤ problème d'optimisation
 - ⑥ module d'écrouissage et multiplicateur plastique
 - ⑦ tenseur de rigidité élastoplastique

Seuil de plasticité

$$\begin{cases} f(\underline{\sigma}; \underline{\chi}) < 0 & \text{elasticity} \end{cases} \quad (1)$$

$$\begin{cases} f(\underline{\sigma}; \underline{\chi}) = 0 & \text{plasticity} \end{cases} \quad (2)$$



Fonction de charge

$$\begin{cases} f(\underline{\underline{\sigma}}; \underline{\underline{\chi}}) - \sigma_{yld} \leq 0 & \text{limite élastique} \quad (3) \\ f_{ult}(\underline{\underline{\sigma}}; \underline{\underline{\chi}}) - \sigma_{ult} \leq 0, \quad (\text{for } \|\underline{\underline{\epsilon}}^{pl}\| \rightarrow \infty) & \text{surface limite} \quad (4) \end{cases}$$

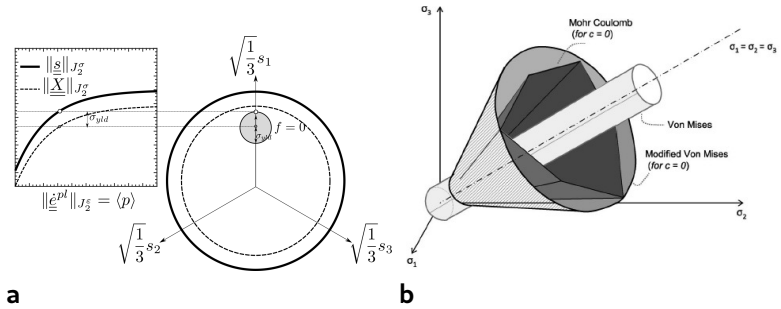


Figure: Modèle de Armstrong-Frederick Gatti 2017

Modèle de Armstrong-Frederick

$$\left\{ \begin{array}{l} f = \sqrt{3J_2 \left(\underline{\underline{s}}^\sigma - \underline{\underline{X}} \left(\underline{\underline{\alpha}} \right) \right)} - \sigma_{yld} - R(r) \leq 0 \end{array} \right. \quad \text{limite élastique} \quad (5)$$

$$\left\{ \begin{array}{l} f_{ult} = \sqrt{3J_2 \left(\underline{\underline{s}}^\sigma - \underline{\underline{X}} \right)} - \sigma_{yld} - R_\infty \leq 0 \end{array} \right. \quad \text{surface limite} \quad (6)$$

Variables d'écroutissage :

$$\left\{ \begin{array}{l} \underline{\underline{\mathcal{X}}} = \left\{ \underline{\underline{X}}, R \right\} \end{array} \right. \quad \text{statiques} \quad (7)$$

$$\left\{ \begin{array}{l} \underline{\underline{\eta}} = \left\{ \underline{\underline{\alpha}}, r \right\} \end{array} \right. \quad \text{cinématiques} \quad (8)$$

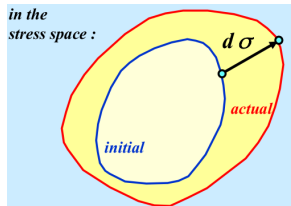
Variables d'écrouissage

- Variables d'écrouissages \equiv variables internes
- Utilisées pour décrire l'évolution de $f(\underline{\underline{\sigma}}; \underline{\underline{\chi}})$
- $\underline{\underline{\chi}}$: variables d'écrouissage statiques
 \rightarrow collection des variables scalaires, vectorielles, tensorielles

$$\underline{\underline{\chi}} = \{R, \theta, \dots, \underline{\underline{X}}, \underline{\underline{Y}}, \dots\} \quad (9)$$

- $\underline{\underline{\eta}}$: variables d'écrouissage cinématiques
 \rightarrow collection des variables scalaires, vectorielles, tensorielles
- Modèle de Armstrong-Frederick $\underline{\underline{\eta}} = \{\underline{\underline{\alpha}}, r\}$:

$$\underline{\underline{\chi}} \equiv \begin{cases} \underline{\underline{X}}(\underline{\underline{\alpha}}) = \frac{2}{3} C \underline{\underline{\alpha}} \\ R(r) = R_{\infty} (1 - \exp(-br)) \end{cases}$$



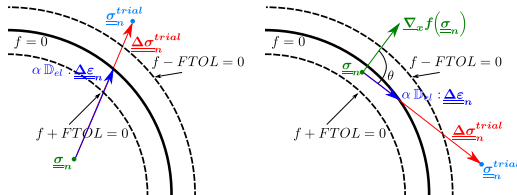
Résolution par étapes

Évolution continue de f en temps : $f(t + \delta t) \approx f(t) + \delta f$

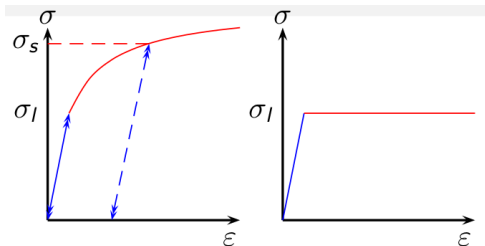
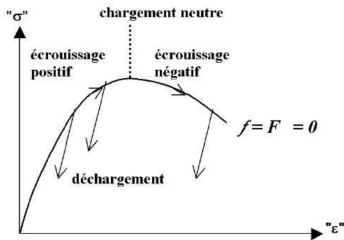
$$\text{si } f(t) \equiv 0 : \begin{cases} \delta f < 0 \rightarrow f(t + \delta t) < 0 & \text{déchargement élastique} \\ \delta f = 0 \rightarrow f(t + \delta t) = 0 & \text{chargement plastique} \end{cases} \quad (12)$$

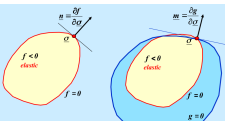
$$(13)$$

- ① Hypothèse 0: $\underline{\underline{\delta \varepsilon}}^{pl} = \underline{\underline{0}} \rightarrow \underline{\underline{\delta \sigma}}^{trial} = \mathbf{D}^{el} : \underline{\underline{\delta \varepsilon}}$
- ② Vérifier la valeur de $f(\underline{\underline{\sigma}} + \underline{\underline{\delta \sigma}}^{trial}; \underline{\underline{\chi}}) \leq 0$
- ③ si $f(\underline{\underline{\sigma}} + \underline{\underline{\delta \sigma}}^{trial}; \underline{\underline{\chi}}) > 0 \rightarrow \text{correction: } f(\underline{\underline{\sigma}} + \underline{\underline{\delta \sigma}}; \underline{\underline{\chi}} + \underline{\underline{\delta \chi}}) = 0$



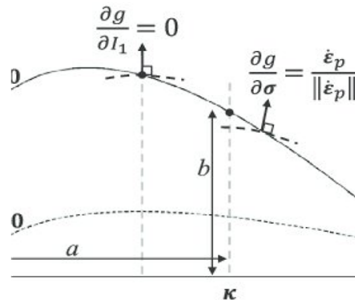
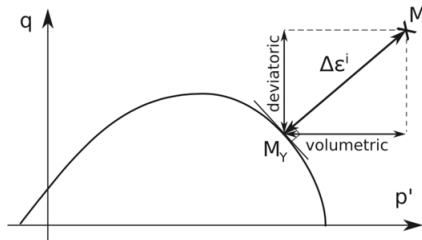
$$\left\{ \begin{array}{ll} f(t) = 0 \text{ and } \underline{\underline{\mathbb{D}_\sigma f}} : \underline{\underline{\delta \sigma^{trial}}} > 0 & \text{écrouissage positif} \quad (14) \\ f(t) = 0 \text{ and } \underline{\underline{\mathbb{D}_\sigma f}} : \underline{\underline{\delta \sigma^{trial}}} = 0 & \text{plasticité parfaite } (f = f_{ult}) \quad (15) \\ f(t + \delta t) = 0 \text{ and } \underline{\underline{\mathbb{D}_\sigma f}} : \underline{\underline{\delta \sigma^{trial}}} < 0 & \text{écrouissage négatif} \quad (16) \\ f(t + \delta t) < 0 \text{ and } \underline{\underline{\mathbb{D}_\sigma f}} : \underline{\underline{\delta \sigma^{trial}}} < 0 & \text{écrouissage négatif} \quad (17) \end{array} \right.$$





$$\begin{cases} \underline{\underline{\delta \varepsilon}}^{pl} = \delta \lambda \cdot \underline{\underline{\mathbb{D}}}_{\sigma} \underline{\underline{g}}, & \underline{\underline{\delta \eta}} = -\delta \lambda \cdot \underline{\underline{\mathbb{D}}}_{\chi} \underline{\underline{g}} & \text{non-associée (18)} \\ \underline{\underline{\delta \varepsilon}}^{pl} = \delta \lambda \cdot \underline{\underline{\mathbb{D}}}_{\sigma} \underline{\underline{f}}, & \underline{\underline{\delta \eta}} = -\delta \lambda \cdot \underline{\underline{\mathbb{D}}}_{\chi} \underline{\underline{f}} & \text{associée (f = g) (19)} \end{cases}$$

$$\lambda = \int_0^t \sqrt{\frac{2}{3} \underline{\underline{\delta \varepsilon}}^{pl} : \underline{\underline{\delta \varepsilon}}^{pl}} dt = \quad (20)$$



Loi d'écoulement

Modèle de Armstrong-Frederick : $\lambda, \mu, C, \kappa, b, R_\infty, \sigma_{yld}$: paramètres du modèles

Potentiel plastique:

$$g(\underline{\underline{\sigma}}; \underline{\underline{\chi}}) = f(\underline{\underline{\sigma}}; \underline{\underline{\chi}}) + \underbrace{\frac{3}{4} \frac{\kappa}{C} \underline{\underline{\mathbf{X}}} : \underline{\underline{\mathbf{X}}}}_{\text{fading memory}} \quad (21)$$

$$\underline{\underline{\delta \varepsilon}}^{pl} = \delta \lambda \underline{\underline{\mathbb{D}_\sigma \mathbf{g}}} = \delta \lambda \underline{\underline{\mathbb{D}_\sigma \mathbf{f}}} = \delta \lambda \frac{3}{2} \frac{\underline{\underline{\mathbf{s}^\sigma}} - \underline{\underline{\mathbf{X}}}}{\sqrt{3J_2(\underline{\underline{\mathbf{s}^\sigma}} - \underline{\underline{\mathbf{X}}})}} \quad (22)$$

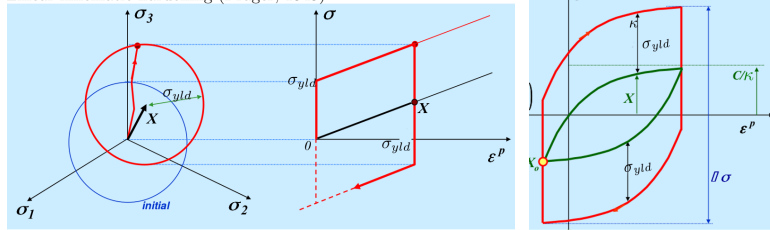
$$\delta \underline{\underline{\eta}} \equiv \begin{cases} \underline{\underline{\delta \alpha}} = \delta \lambda \underline{\underline{\mathbb{D}_X \mathbf{g}}} = \delta \lambda \frac{3}{2} \frac{\underline{\underline{\mathbf{s}^\sigma}} - \underline{\underline{\mathbf{X}}}}{\sqrt{3J_2(\underline{\underline{\mathbf{s}^\sigma}} - \underline{\underline{\mathbf{X}}})}} - \delta \lambda \frac{3\kappa}{2C} \underline{\underline{\mathbf{X}}} \end{cases} \quad (23)$$

$$\begin{cases} \delta r = -\delta \lambda \frac{\partial g}{\partial R} = -\delta \lambda \frac{\partial f}{\partial R} = \delta \lambda \rightarrow r \equiv \lambda \end{cases} \quad (24)$$

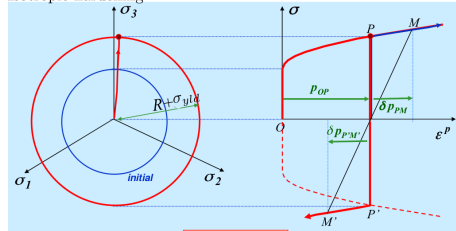
Évolution du seuil de plasticité

$$\delta \tilde{\chi} = \mathbf{D}_{\tilde{\eta}} \tilde{\chi} : \delta \tilde{\eta} \quad (25)$$

Linear kinematic hardening (Prager, 1949)



Isotropic hardening



Évolution du seuil de plasticité

Modèle de Armstrong-Frederick:

$$\delta \tilde{\chi} \equiv \begin{cases} \underline{\underline{\delta X}}(\underline{\underline{\alpha}}) = \frac{2}{3} C \underline{\underline{\delta \alpha}} = \left(C \frac{\underline{\underline{s}}^\sigma - \underline{\underline{X}}}{\sqrt{3J_2(\underline{\underline{s}}^\sigma - \underline{\underline{X}})}} - \kappa \underline{\underline{X}} \right) \delta \lambda & (26) \\ \delta R(r) = b(R_\infty - R(r)) \delta \lambda & (27) \end{cases}$$

Problème d'optimisation

Conditions de Karush–Kuhn–Tucker conditions:

$$\mathcal{K} : \begin{cases} f(\underline{\underline{\sigma}}; \underline{\underline{\chi}}) \leq 0, \end{cases} \quad (28)$$

$$\mathcal{K} : \begin{cases} \lambda \geq 0, \end{cases} \quad \forall f(\underline{\underline{\sigma}}; \underline{\underline{\chi}}) \in \mathbb{S} \times \mathbb{K} \quad (29)$$

$$\mathcal{K} : \begin{cases} \delta \lambda f(\underline{\underline{\sigma}}; \underline{\underline{\chi}}) = 0 \end{cases} \quad (30)$$

$\delta \lambda$ est calculé à partir des conditions de consistance élastoplastique:

if $f = 0, \rightarrow \delta f = 0 \rightarrow f(t + \delta t) = 0$, chargement plastique

$$\delta f = \underline{\underline{\mathbb{D}_{\sigma} f}} : \underbrace{\mathbf{D}^{el} : \left(\underline{\underline{\delta \varepsilon}} - \delta \lambda \underline{\underline{\mathbb{D}_{\sigma} g}} \right)}_{\underline{\underline{\delta \sigma}}} + \underline{\underline{\mathbb{D}_{\chi} f}} : \underbrace{\mathbf{D}_{\eta \tilde{\chi}} : \underline{\underline{\mathbb{D}_{\chi} g}}}_{\delta \tilde{\chi} = \mathbf{D}_{\eta \tilde{\chi}} : \delta \tilde{\eta}} \delta \lambda = 0 \quad (31)$$

Module d'écrouissage

En résolvant l'Equation (31), on trouve l'incrément du multiplicateur plastique:

$$\delta f = 0 \rightarrow \delta \lambda = \frac{\underline{\underline{\mathbb{D}_\sigma f}} : \underline{\underline{\mathbf{D}^{el}}} : \underline{\underline{\delta \varepsilon}}}{\underbrace{\underline{\underline{\mathbb{D}_\sigma f}} : \underline{\underline{\mathbf{D}^{el}}} : \underline{\underline{\mathbb{D}_\sigma \mathbf{g}}}}_{\mathcal{H}_c = \text{module d'ecrouissage critique}} - \underbrace{\underline{\underline{\mathbb{D}_\chi f}} : \underline{\underline{\mathbf{D}_{\eta \sim}}} : \underline{\underline{\mathbb{D}_\chi \mathbf{g}}}}_{\mathcal{H} = \text{module d'ecrouissage}}} \quad (32)$$

Modèle de Armstrong-Frederick:

$$\left\{ \begin{array}{l} \underline{\underline{\mathbb{D}_\chi f}} = -\frac{3}{2} \frac{\underline{\underline{s^\sigma}} - \underline{\underline{\mathbf{X}}}}{\sqrt{3J_2(\underline{\underline{s^\sigma}} - \underline{\underline{\mathbf{X}}})}}; \frac{\partial f}{\partial R} = -1 \\ \underline{\underline{\delta \mathbf{X}}} = \left(C \frac{\underline{\underline{s^\sigma}} - \underline{\underline{\mathbf{X}}}}{\sqrt{3J_2(\underline{\underline{s^\sigma}} - \underline{\underline{\mathbf{X}}})}} - \kappa \underline{\underline{\mathbf{X}}} \right) \delta \lambda \\ \delta R = b(R_\infty - R(r)) \delta \lambda \end{array} \right. \quad (33)$$

$$\left\{ \begin{array}{l} \mathcal{H} = C - \frac{3\kappa}{2} \frac{(\underline{\underline{s^\sigma}} - \underline{\underline{\mathbf{X}}}) : \underline{\underline{\mathbf{X}}}}{\sqrt{3J_2(\underline{\underline{s^\sigma}} - \underline{\underline{\mathbf{X}}})}} + b(R_\infty - R) \\ \mathcal{H}_c = 3\mu \end{array} \right. \quad (34)$$

$$(35)$$

$$(36)$$

$$(37)$$

Tenseur de rigidité élastoplastique

À l'aide de l'Equation (32), l'incrément élastoplastique de l'état de contrainte peut s'écrire sous forme:

$$\underline{\underline{\delta\sigma}} = \mathbf{D}^{el} : \left(\underline{\underline{\delta\epsilon}} + \underbrace{\frac{\underline{\underline{\mathbb{D}_{\sigma}f}} : \mathbf{D}^{el} : \underline{\underline{\delta\epsilon}}}{\mathcal{H} - \mathcal{H}_c}}_{-\delta\lambda} \underline{\underline{\mathbb{D}_{\sigma}g}} \right) \quad (38)$$

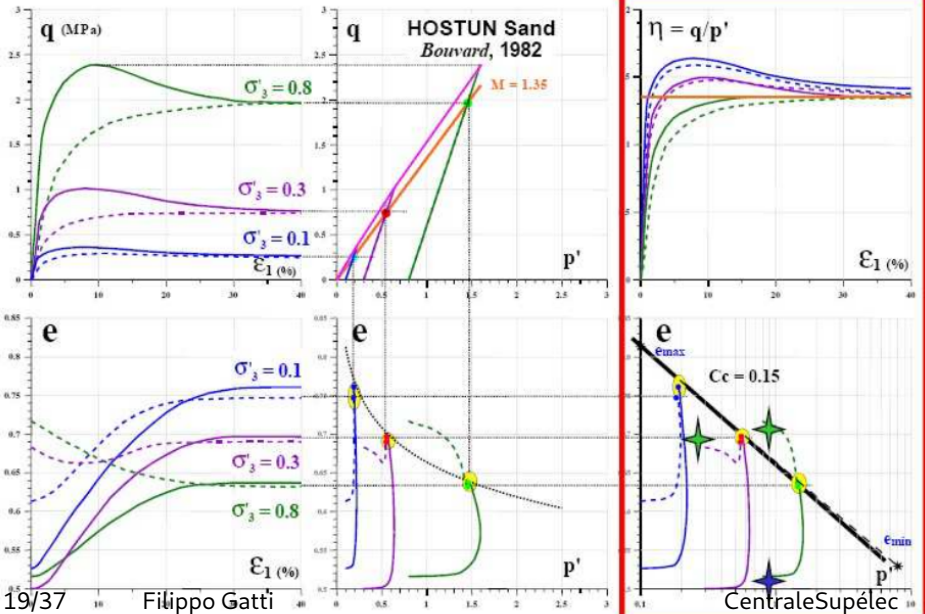
Le tenseur de rigidité élastoplastique est identifiée :

$$\mathbf{D}^{ep} = \mathbf{D}^{el} : \left(\mathbf{I} + \frac{\underline{\underline{\mathbb{D}_{\sigma}g}} \otimes \mathbf{D}^{el} : \underline{\underline{\mathbb{D}_{\sigma}f}}}{\mathcal{H} - \mathcal{H}_c} \right) \quad (39)$$

$$\underline{\underline{\delta\sigma}} = \mathbf{D}^{ep} : \underline{\underline{\delta\epsilon}} \quad (40)$$

Modèles EP pour les argiles

Comportement expérimental



Ingrédients de modélisation

- comportement volumétrique/déviatorique couplés

- comportement volumétrique/déviatorique couplés
 - ① volumétrique
 - compression isotrope
 - compression oedométrique (conditions à repos, in-situ → consolidation)
 - variables intéressées: $\sigma'_m (= p')$ et ε_{vol} (ou index des vides e)

- comportement volumétrique/déviatorique couplés
 - ① volumétrique
 - compression isotrope
 - compression oedométrique (conditions à repos, in-situ → consolidation)
 - variables intéressées: $\sigma'_m (= p')$ et ε_{vol} (ou index des vides e)
 - ② déviatorique
 - comportement sous charge triaxial/multiaxial
 - variables intéressées: $q - p'$ et $\varepsilon_d, \varepsilon_{vol}$ ($\varepsilon_d = \sqrt{\frac{4}{3} J_2(\underline{\underline{\varepsilon}})}$)

- comportement volumétrique/déviatorique couplés
 - ① volumétrique
 - compression isotrope
 - compression oedométrique (conditions à repos, in-situ → consolidation)
 - variables intéressées: $\sigma'_m (= p')$ et ε_{vol} (ou index des vides e)
 - ② déviatorique
 - comportement sous charge triaxial/multiaxial
 - variables intéressées: $q - p'$ et $\varepsilon_d, \varepsilon_{vol}$ ($\varepsilon_d = \sqrt{\frac{4}{3} J_2(\underline{\underline{\varepsilon}})}$)
- rôle de la pression d'eau interstitielle u_w :

Ingrédients de modélisation

- comportement volumétrique/déviatorique couplés
 - ① volumétrique
 - compression isotrope
 - compression oedométrique (conditions à repos, in-situ → consolidation)
 - variables intéressées: $\sigma'_m (= p')$ et ε_{vol} (ou index des vides e)
 - ② déviatorique
 - comportement sous charge triaxial/multiaxial
 - variables intéressées: $q - p'$ et $\varepsilon_d, \varepsilon_{vol}$ ($\varepsilon_d = \sqrt{\frac{4}{3} J_2(\underline{\underline{\varepsilon}})}$)
- rôle de la pression d'eau interstitielle u_w :
 - ① conditions drainée: $\underline{\underline{\sigma}} = \underline{\underline{\sigma}}' + u_w \underline{\underline{I}}$ (Terzaghi)

Ingrédients de modélisation

- comportement volumétrique/déviatorique couplés
 - ① volumétrique
 - compression isotrope
 - compression oedométrique (conditions à repos, in-situ → consolidation)
 - variables intéressées: $\sigma'_m (= p')$ et ε_{vol} (ou index des vides e)
 - ② déviatorique
 - comportement sous charge triaxial/multiaxial
 - variables intéressées: $q - p'$ et $\varepsilon_d, \varepsilon_{vol}$ ($\varepsilon_d = \sqrt{\frac{4}{3} J_2(\underline{\underline{\varepsilon}})}$)
- rôle de la pression d'eau interstitielle u_w :
 - ① conditions drainée: $\underline{\underline{\sigma}} = \underline{\underline{\sigma}}' + u_w \underline{\underline{I}}$ (Terzaghi)
 - ② conditions non-drainée: $\delta \varepsilon_{vol} = 0$ (solicitations dynamiques rapides)

Ingrédients de modélisation

- comportement volumétrique/déviatorique couplés
 - volumétrique
 - compression isotrope
 - compression oedométrique (conditions à repos, in-situ → consolidation)
 - variables intéressées: $\sigma'_m (= p')$ et ε_{vol} (ou index des vides e)
 - déviatorique
 - comportement sous charge triaxial/multiaxial
 - variables intéressées: $q - p'$ et $\varepsilon_d, \varepsilon_{vol}$ ($\varepsilon_d = \sqrt{\frac{4}{3} J_2(\underline{\underline{\varepsilon}})}$)
- rôle de la pression d'eau interstitielle u_w :
 - conditions drainée: $\underline{\underline{\sigma}} = \underline{\underline{\sigma}}' + u_w \underline{\underline{I}}$ (Terzaghi)
 - conditions non-drainée: $\delta \varepsilon_{vol} = 0$ (solicitations dynamiques rapides)
- relation élastoplastique (conditions triaxiales)

$$\begin{bmatrix} \delta p' \\ \delta q \end{bmatrix} = \begin{bmatrix} D_{p'p'}^{ep} & D_{p'q}^{ep} \\ D_{qp'}^{ep} & D_{qq}^{ep} \end{bmatrix} \begin{bmatrix} \delta \varepsilon_{vol} \\ \delta \varepsilon_d \end{bmatrix} \quad \begin{bmatrix} \delta \varepsilon_{vol} \\ \delta \varepsilon_d \end{bmatrix} = \begin{bmatrix} C_{p'p'}^{ep} & C_{p'q}^{ep} \\ C_{qp'}^{ep} & C_{qq}^{ep} \end{bmatrix} \begin{bmatrix} \delta p' \\ \delta q \end{bmatrix} \quad (41)$$

Compression isotrope

$$\bullet \quad \underline{\underline{\sigma}} = \begin{bmatrix} \sigma_1 & 0 & 0 \\ 0 & \sigma_1 & 0 \\ 0 & 0 & \sigma_1 \end{bmatrix} = \begin{bmatrix} p & 0 & 0 \\ 0 & p & 0 \\ 0 & 0 & p \end{bmatrix} ;$$

$$\bullet \quad \underline{\underline{\varepsilon}} = \begin{bmatrix} \varepsilon_1 & 0 & 0 \\ 0 & \varepsilon_1 & 0 \\ 0 & 0 & \varepsilon_1 \end{bmatrix} = \begin{bmatrix} \varepsilon_v/3 & 0 & 0 \\ 0 & \varepsilon_v/3 & 0 \\ 0 & 0 & \varepsilon_v/3 \end{bmatrix}$$

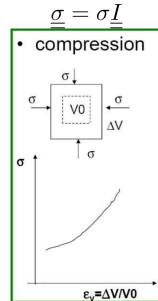


Figure: Bardet 1997

$$\varepsilon_{vol} = 3\varepsilon_1 = Tr(\underline{\underline{\varepsilon}}) \text{ déformation volumique}$$

Compression oedométrique

- $\underline{\underline{\sigma}} = \begin{bmatrix} \sigma_1 & 0 & 0 \\ 0 & \sigma_3 & 0 \\ 0 & 0 & \sigma_3 \end{bmatrix} ; \underline{\underline{\varepsilon}} = \begin{bmatrix} \varepsilon_1 & 0 & 0 \\ 0 & 0 & 0 \\ 0 & 0 & 0 \end{bmatrix}$

- $\varepsilon_3 = 0 ; \quad \varepsilon_v = \varepsilon_1$

- contrôle en $\varepsilon_a \nearrow$ (ou $\sigma_a \nearrow$) : $\delta\varepsilon_a > 0$

En élasticité: $\delta\varepsilon_{vol} = \delta\varepsilon_1 = \delta\varepsilon_a = \frac{\delta H}{H} = 3K\sigma_1$

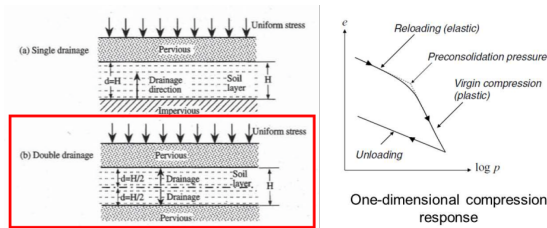
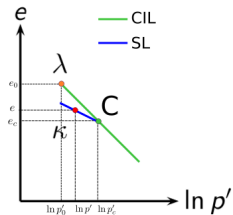


Figure: Bardet 1997

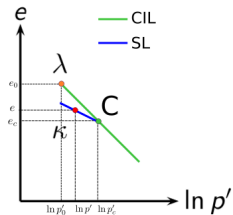
Comportement volumétrique des argiles



- $\delta \mathcal{E}_{vol} = -\frac{\delta e}{1+e_0} = -\frac{\delta e}{v_0}$ (compression positive)

- Comportement élastique non linéaire (linéaire en $\log p'$)
- λ et κ dans le plan $\ln p' - e$
- C_c et C_s dans le plan $\log p' - e$ et $\log \sigma'_v - e$
- $OCR = \frac{\sigma'_{vc}}{\sigma'_v}$ ou $OCR = \frac{p'_c}{p'}$

Comportement volumétrique des argiles

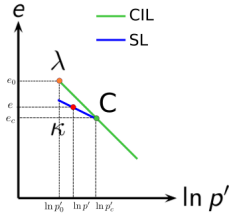


- Comportement élastique non linéaire (linéaire en $\log p'$)
- λ et κ dans le plan $\ln p' - e$
- C_c et C_s dans le plan $\log p' - e$ et $\log \sigma'_v - e$
- $OCR = \frac{\sigma'_{vc}}{\sigma'_v}$ ou $OCR = \frac{p'_c}{p'}$

- $\delta \mathcal{E}_{vol} = -\frac{\delta e}{1+e_0} = -\frac{\delta e}{v_0}$ (compression positive)

- e_0 index de vide à repos (ou conventionnellement, correspondant à $p'=1$ kPa)

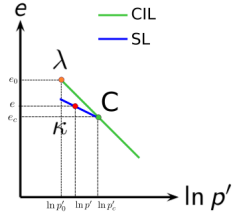
Comportement volumétrique des argiles



- Comportement élastique non linéaire (linéaire en $\log p'$)
- λ et κ dans le plan $\ln p' - e$
- C_c et C_s dans le plan $\log p' - e$ et $\log \sigma'_v - e$
- $OCR = \frac{\sigma'_{vc}}{\sigma'_v}$ ou $OCR = \frac{p'_c}{p'}$

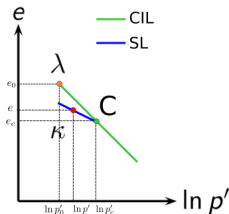
- $\delta \varepsilon_{vol} = -\frac{\delta e}{1+e_0} = -\frac{\delta e}{v_0}$ (compression positive)
- e_0 index de vide à repos (ou conventionnellement, correspondant à $p'=1$ kPa)
- $\delta \varepsilon_{vol} = \delta \varepsilon_{vol}^{el} + \delta \varepsilon_{vol}^{pl}$, $\delta e = \delta e^{el} + \delta e^{pl}$

Comportement volumétrique des argiles



- Comportement élastique non linéaire (linéaire en $\ln p'$)
- λ et κ dans le plan $\ln p' - e$
- C_c et C_s dans le plan $\log p' - e$ et $\log \sigma'_v - e$
- $OCR = \frac{\sigma'_{vc}}{\sigma'_v}$ ou $OCR = \frac{p'_c}{p'}$

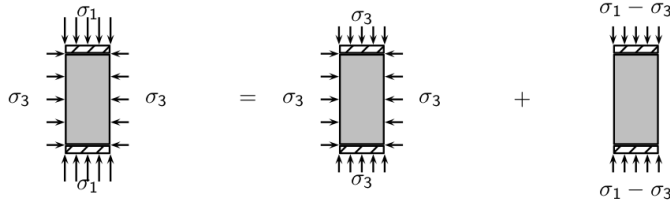
- $\delta \varepsilon_{vol} = -\frac{\delta e}{1+e_0} = -\frac{\delta e}{v_0}$ (compression positive)
- e_0 index de vide à repos (ou conventionnellement, correspondant à $p'=1$ kPa)
- $\delta \varepsilon_{vol} = \delta \varepsilon_{vol}^{el} + \delta \varepsilon_{vol}^{pl}$, $\delta e = \delta e^{el} + \delta e^{pl}$
- Consolidation normale [virgin consolidation]:
 $\rightarrow \delta e = -\lambda \delta (\ln p') = -\lambda \frac{\delta p'}{p'}$, $v = \Gamma - \ln \left(\frac{p'}{p'_0} \right)$ ($\Gamma = 1 + e_0$)



- Comportement élastique non linéaire (linéaire en $\ln p'$)
- λ et κ dans le plan $\ln p' - e$
- C_c et C_s dans le plan $\log p' - e$ et $\log \sigma'_v - e$
- $OCR = \frac{\sigma'_{vc}}{\sigma'_v}$ ou $OCR = \frac{p'_c}{p'}$

- $\delta \varepsilon_{vol} = -\frac{\delta e}{1+e_0} = -\frac{\delta e}{v_0}$ (compression positive)
- e_0 index de vide à repos (ou conventionnellement, correspondant à $p'=1$ kPa)
- $\delta \varepsilon_{vol} = \delta \varepsilon_{vol}^{el} + \delta \varepsilon_{vol}^{pl}$, $\delta e = \delta e^{el} + \delta e^{pl}$
- Consolidation normale [virgin consolidation]:
 $\rightarrow \delta e = -\lambda \delta (\ln p') = -\lambda \frac{\delta p'}{p'}$, $v = \Gamma - \ln \left(\frac{p'}{p'_0} \right)$ ($\Gamma = 1 + e_0$)
- Décharge élastique [swelling line]: $\delta e^{el} = -\kappa \frac{\delta p'}{p'}$, $\delta e^{pl} = -(\lambda - \kappa) \frac{\delta p'}{p'}$
 $\rightarrow v = v_c - \kappa \ln \left(\frac{p'}{p'_c} \right)$
 $e_c = e_{c0} - \lambda \ln \left(\frac{p'_c}{p'_{c0}} \right)$ ou $v_c = v_{c0} - \lambda \ln \left(\frac{p'_c}{p'_{c0}} \right)$

Chargement Triaxial



$$\sigma_1 = \sigma_a \quad \sigma_3 = \sigma_r$$

$$\bullet \quad \underline{\underline{\sigma}} = \begin{bmatrix} \sigma_a & 0 & 0 \\ 0 & \sigma_r & 0 \\ 0 & 0 & \sigma_r \end{bmatrix} ; \underline{\underline{\varepsilon}} = \begin{bmatrix} \varepsilon_a & 0 & 0 \\ 0 & \varepsilon_r & 0 \\ 0 & 0 & \varepsilon_r \end{bmatrix}$$

$$\bullet \quad q = \sigma_a - \sigma_r \quad \delta q = \delta \sigma_a - \delta \sigma_r$$

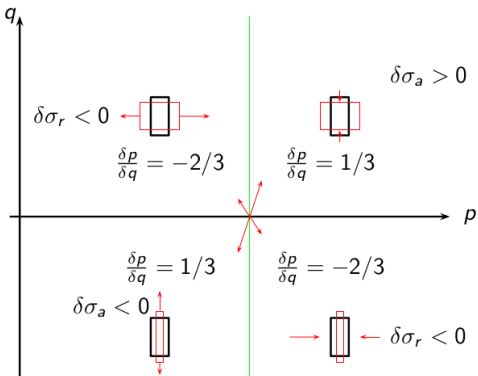
$$\bullet \quad \delta \underline{\underline{\sigma}} = \begin{bmatrix} \delta \sigma_a & 0 & 0 \\ 0 & 0 & 0 \\ 0 & 0 & 0 \end{bmatrix} ; \delta \underline{\underline{\varepsilon}} = \begin{bmatrix} \delta \varepsilon_a & 0 & 0 \\ 0 & \delta \varepsilon_r & 0 \\ 0 & 0 & \delta \varepsilon_r \end{bmatrix}$$

$$\rho = \sqrt{2J_2(\underline{\underline{s}}^\sigma)} = \sqrt{\frac{2}{3}}q$$

Chargement Triaxial

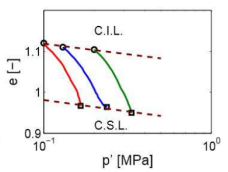
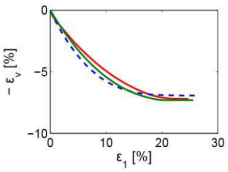
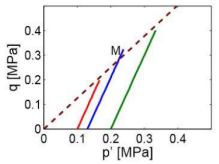
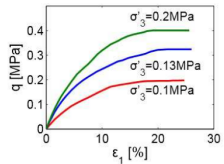
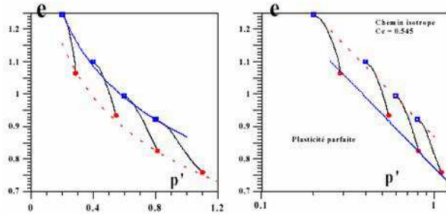
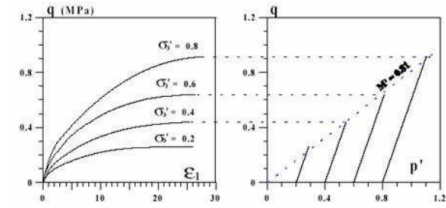
Comportement déviatorique dépend de:

- la consolidation (isotrope ou oedométrique) → argiles
- densité → sables



- compression triaxiale:
 $q > 0, \sigma_a > \sigma_r$
- extension triaxiale:
 $q < 0, \sigma_a < \sigma_r$

Chargement triaxial



a

b

Figure: Compression triaxiale monotone : (a) argiles normalement consolidées; (b) sables lâches (Ziani and Biarez 1990 d'après Lopez-Caballero)

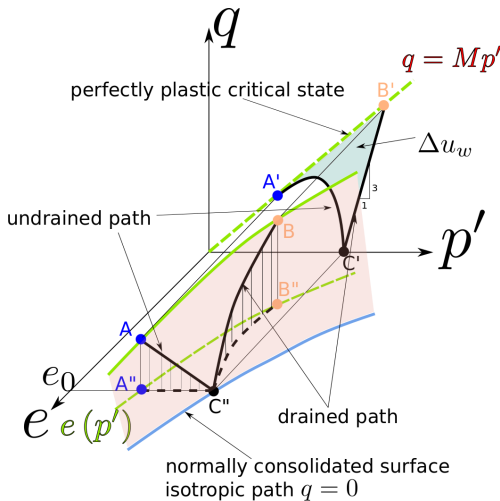
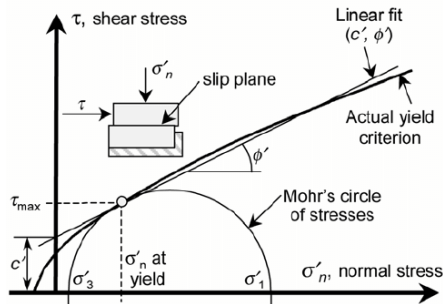


Figure: Ligne d'état critique dans l'espace $q - p' - e$

Modèle de Mohr Coulomb

$$f(\underline{\underline{\sigma}}') = \frac{|\sigma_I - \sigma_{III}|}{2} - \frac{\sigma_I + \sigma_{III}}{2} \sin \phi' - c' \cos \phi < 0 \quad (42)$$

$$g(\underline{\underline{\sigma}}') = |\sigma_I - \sigma_{III}| - (\sigma_I + \sigma_{III}) \sin \psi < 0 \quad (43)$$



- Critère de Coulomb:
 - ϕ' angle de frottement
 - c' cohésion drainée apparente
- angle de dilatance ψ ($f \neq g$)
- élastoplasticité parfaite (pas d'écrouissage)

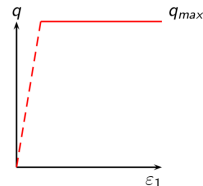
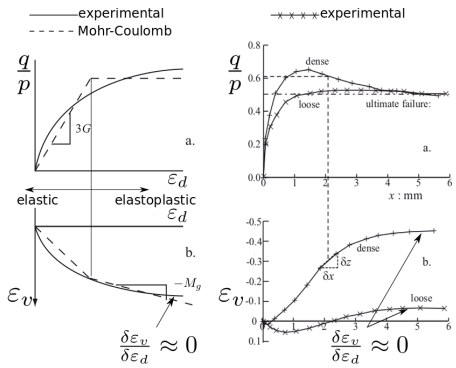


Figure: Han et al. 2006

Modèle de Mohr-Coulomb



$$f(\underline{\underline{\sigma}}') = |q| - Mp' - N \leq 0 \quad (44)$$

$$\left\{ \begin{aligned} \sigma_I &= \frac{3p' + 2q}{3}, \sigma_{III} = \frac{3p' - q}{3} \end{aligned} \right. \quad (45)$$

$$M = \frac{6 \sin \phi'}{3 \operatorname{sgn}(q) - \sin \phi'} \quad (46)$$

$$N = \frac{6c' \cos \phi'}{3 \operatorname{sgn}(q) - \sin \phi'} \quad (47)$$

$$g(\underline{\underline{\sigma}}') = |q| - M_g p' \quad (48)$$

$$M_g = \frac{6 \sin \psi}{3 \operatorname{sgn}(q) - \sin \psi} \quad (49)$$

$$f\left(\frac{\underline{\underline{\sigma}}'}{3}\right) \frac{|q|}{3} \left(\sqrt{3} \cos \theta - \sin \theta \sin \phi' \right) - p' \sin \phi' - 2c' \cos \phi' \leq 0 \quad (50)$$

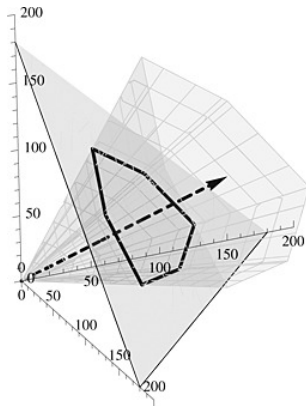


Figure: Panteghini and Lagioia 2014

Rôle de la dilatance

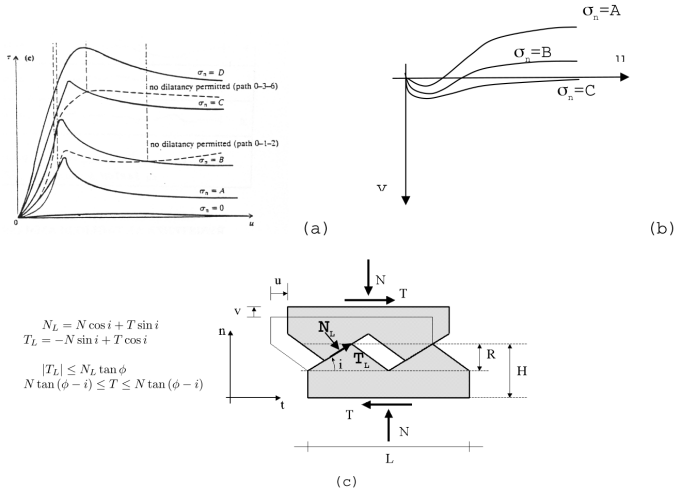


Figure: Essai de cisaillement direct. (a) Courbes $\tau - u$; (b) Courbes $v - u$; (c) mécanisme d'inter-locking

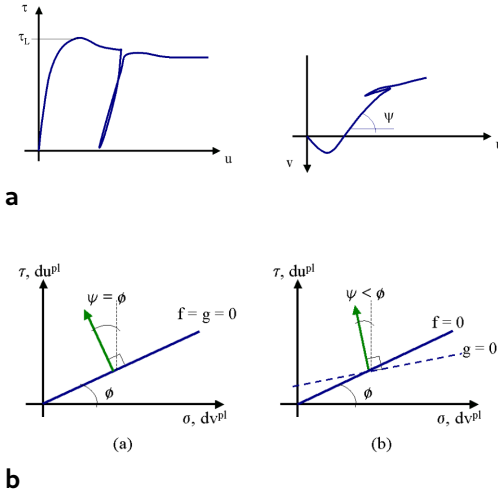
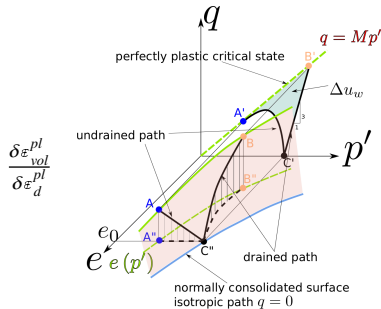


Figure: Essai de cisaillement direct: (a) Courbes typiques; (b) loi d'écoulement associée ($\psi = \phi'$) et non-associée ($\psi \neq \phi'$)

Comportement volumique

Le modèle de Mohr-Coulomb est trop simple:

- Conditions drainées \rightarrow comportement volumique:
 - ① phase élastique : $\delta p' \uparrow \delta \varepsilon_{vol}^{el} \uparrow$
 - ② phase élastoplastique dépende du OCR
 - contraction (NC ou $OCR < 4$)
 - dilatance ($OCR > 4$): mesurée comme $\frac{\delta \varepsilon_{vol}^{pl}}{\delta \varepsilon_d^{pl}}$



Comportement volumique

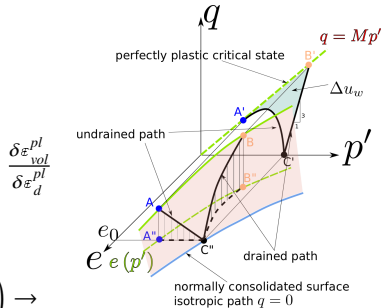
Le modèle de Mohr-Coulomb est trop simple:

- Conditions drainées \rightarrow comportement volumique:

- phase élastique : $\delta p' \uparrow \delta \varepsilon_{vol}^{el} \uparrow$
- phase élastoplastique dépend du *OCR*
 - contraction (NC ou $OCR < 4$)
 - dilatance ($OCR > 4$): mesurée comme $\frac{\delta \varepsilon_{vol}^{pl}}{\delta \varepsilon_d^{pl}}$

- Conditions non-drainées $\delta \varepsilon_{vol} = 0$:

- phase élastique :
 - $\delta \varepsilon_{vol} = \delta \varepsilon_{vol}^{el} = 0 = C_{p'p'}^{el} \delta p' \left(C_{p'q}^{el} = 0 \right) \rightarrow \delta p = \delta u_w \uparrow$
- phase élastoplastique :
 - $OCR < 4 \rightarrow \delta u_w > 0$
 - $OCR > 4 \rightarrow \delta u_w > 0$ et $\delta u_w < 0$
 - $\delta p' = C_{p'p'}^{ep} \delta \varepsilon_{vol} + C_{p'q}^{ep} \delta \varepsilon_d = \delta p + \delta u_w$
 - $\delta q = C_{qp}^{ep} \delta \varepsilon_{vol} + C_{qq}^{ep} \delta \varepsilon_d$

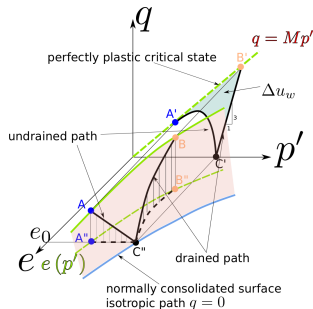


- Comportement élastique :

$$\frac{\delta p'}{p'} = \frac{1+e}{\kappa} \delta \mathcal{E}_{vol}^{el} = \frac{\nu}{\kappa} \delta \mathcal{E}_{vol}^{el} \quad (51)$$

- Comportement élastoplastique :

$$\frac{\delta p'}{p'} = \frac{1+e}{\lambda-\kappa} \delta \mathcal{E}_{vol}^{pl} = \frac{\nu}{\lambda-\kappa} \delta \mathcal{E}_{vol}^{pl} \quad (52)$$



Rôle de la dilatance

Incrément de travail élastoplastique (constante le long l'essai):

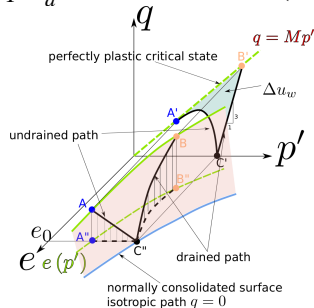
$$\delta W^{ep} = \underline{\underline{\sigma}}' : \underline{\underline{\delta \varepsilon}}^{pl} = p' \delta \varepsilon_{vol}^{pl} + q \delta \varepsilon_d^{pl} \quad (53)$$

À l'état critique en compression (argile normalement consolidée):

$$\begin{cases} \delta \varepsilon_{vol}^{pl} \approx \delta \varepsilon_{vol}^{pl} = 0, & \delta q = M \delta p' \end{cases} \quad (54)$$

$$\begin{cases} \delta W^{ep} = M p' \delta \varepsilon_d^{pl} = p' \delta \varepsilon_{vol}^{pl} + q \delta \varepsilon_d^{pl} \end{cases} \quad (55)$$

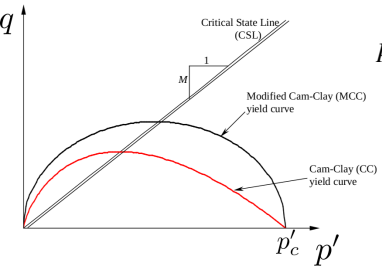
$$\frac{\delta \varepsilon_{vol}^{pl}}{\delta \varepsilon_d^{pl}} \equiv \begin{cases} M - \frac{q}{p'} > 0 & \text{compression} & (56) \\ M - \frac{q}{p'} = 0 & \text{CS} & (57) \\ M - \frac{q}{p'} < 0 & \text{dilatance} & (58) \end{cases}$$



Cam-Clay (CCM) et version modifiée(MCCM)

- Fonction de charge:

$$f\left(\frac{\sigma}{\sigma}\right) \equiv \begin{cases} q + Mp' \ln\left(\frac{p'}{p'_c}\right) \leq 0 & \text{CCM} \quad (59) \\ \frac{q^2}{p'^2} + M^2 \left(1 - \frac{p'_c}{p'}\right) \leq 0 & \text{MCCM} \quad (60) \end{cases}$$



p'_c : pression de pré-consolidation

- contrôle la taille de la surface
- paramètre d'écrouissage (voir Equation (52))

$$p'_c = p'_{c0} \exp\left(\frac{\nu}{\lambda - \kappa} \varepsilon_{vol}^{pl}\right) \quad (61)$$

Bibliography

Jean-Pierre Bardet (1997). *Experimental Soil Science*. Vol. 134. 3389, p. 566. DOI: 10.1038/134566b0.

F. Gatti (Sept. 2017). “Forward physics-based analysis of ”source-to-site” seismic scenarios for strong ground motion prediction and seismic vulnerability assessment of critical structures”. Theses. Université Paris-Saclay - CentraleSupélec and Politecnico di Milano. URL: <https://tel.archives-ouvertes.fr/tel-01626230>.

Hongxue Han et al. (Jan. 2006). “Simulation of Tectonic Deformation and Large Area Casing Shear Mechanisms—Part B: Geomechanics”. In:

- A. Panteghini and R. Lagioia (2014). “A fully convex reformulation of the original Matsuoka-Nakai failure criterion and its implicit numerically efficient integration algorithm”. In: *International Journal for Numerical and Analytical Methods in Geomechanics* 38, pp. 593–614. DOI: 10.1002/nag.2228. URL: <http://onlinelibrary.wiley.com/doi/10.1002/nag.2228/pdf>.
- F. Ziani and J. Biarez (1990). “Pressure sinkage relationship for tyres on very loose sand”. In: *Journal of Terramechanics* 27.3, pp. 167–177. ISSN: 0022-4898. DOI: [https://doi.org/10.1016/0022-4898\(90\)90009-B](https://doi.org/10.1016/0022-4898(90)90009-B). URL: <http://www.sciencedirect.com/science/article/pii/002248989090009B>.